

Tesi doctoral presentada per En/Na

Eduard ROCA I ABELLA

amb el títol

**"L'estructura de la Conca Catalano-balear:
paper de la compressió i de la
distensió en la seva gènesi"**

per a l'obtenció del títol de Doctor/a en

GEOLOGIA

Barcelona, 19 de març del 1992.

Facultat de Geologia
Departament de Geologia Dinàmica, Geofísica i Paleontologia

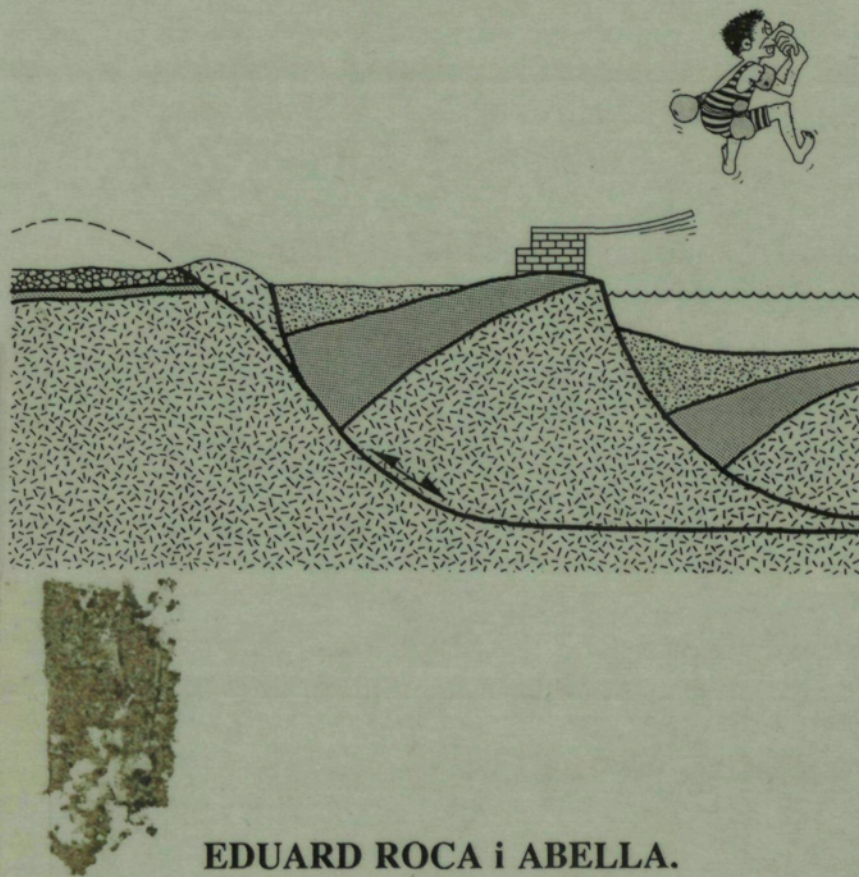


UNIVERSITAT DE BARCELONA

DEPARTAMENT DE GEOLOGIA DINÀMICA, GEOFÍSICA I
PALEONTOLOGIA

**L'ESTRUCTURA DE LA CONCA
CATALANO-BALEAR: PAPER DE LA
COMPRESSIÓ I DE LA DISTENSIÓ EN
LA SEVA GÈNESI.**

-Figures-



BIBLIOTECA DE GEOLOGIA

043
ROCA ABELLA

EDUARD ROCA i ABELLA.

Barcelona, Març de 1992.

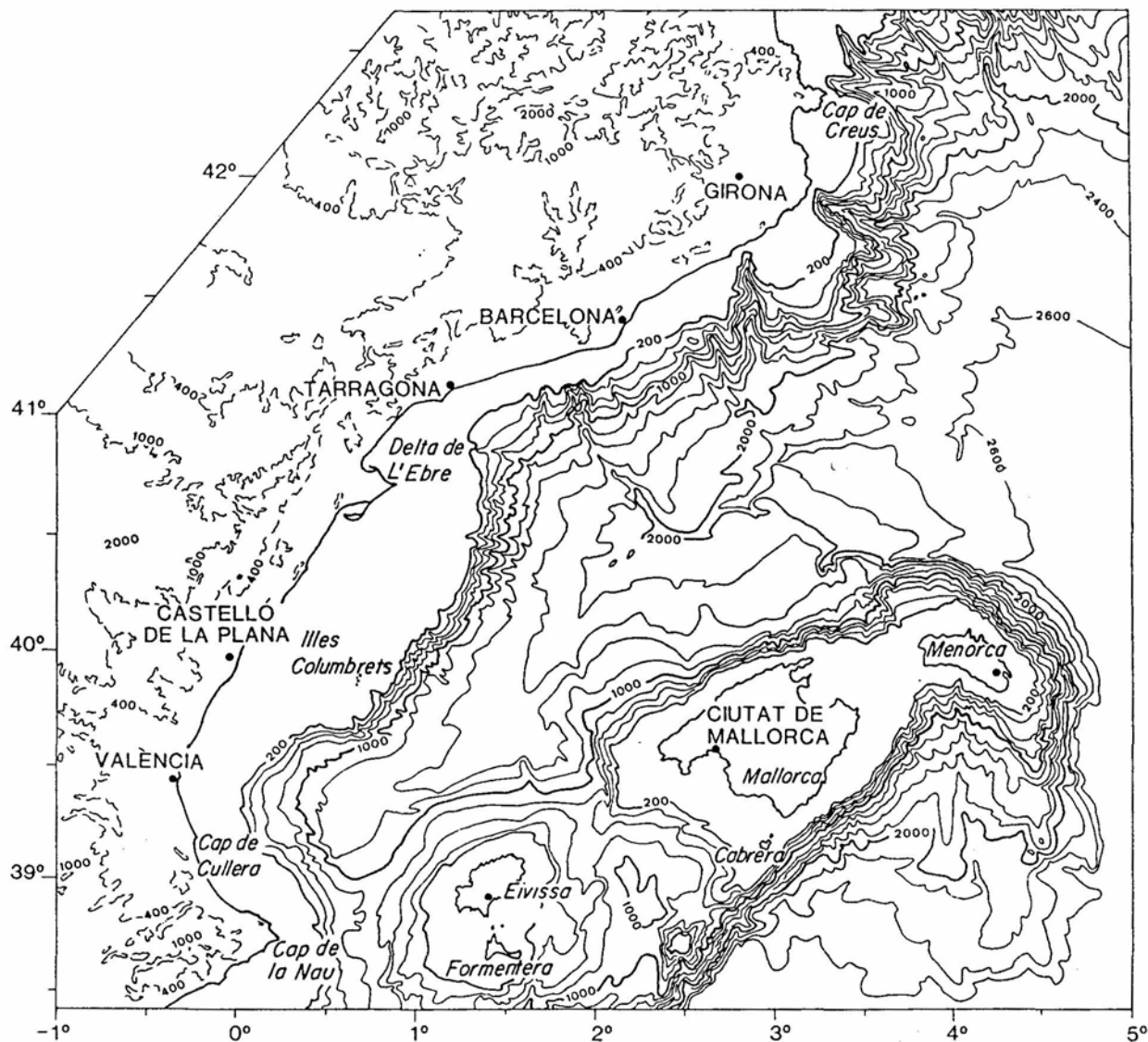


Fig. 1. Mapa fisiogràfic de la Conca Catalano-balear. La carta batimètrica de la Mar Catalano-balear és una simplificació de la publicada per CANALS et al. (1982).

Fig. 1. Physiogeographical map of the Catalan-balearic basin. The bathymetric chart of the Catalano-balearic sea is simplified from CANALS et al. (1982).

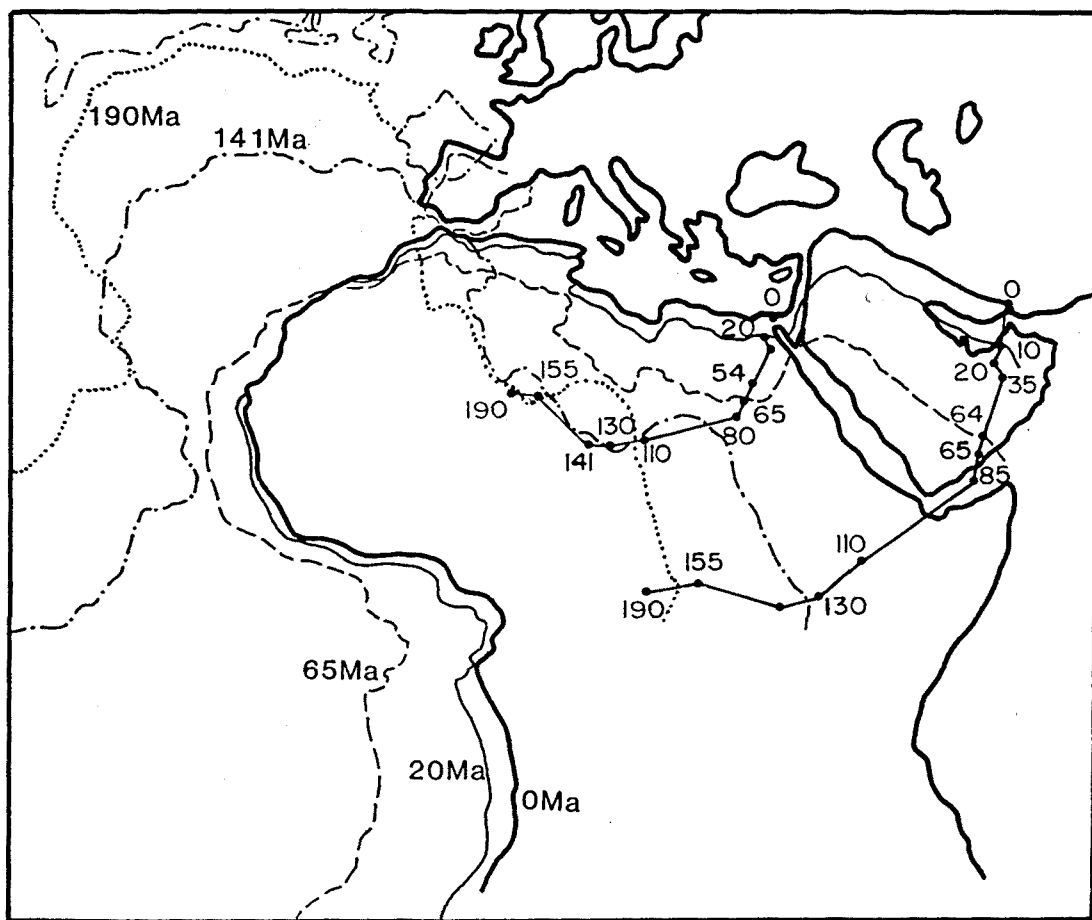


Fig. 2. Història del moviment relatiu d'Àfrica, Aràbia i Ibèria respecte a Euràsia des del Juràssic fins a l'actualitat (SAVOSTIN *et al.*, 1986).

Fig. 2. Relative motion history of Africa, Arabia and Iberia with respect to Eurasia, from Jurassic to Present (SAVOSTIN *et al.*, 1986).

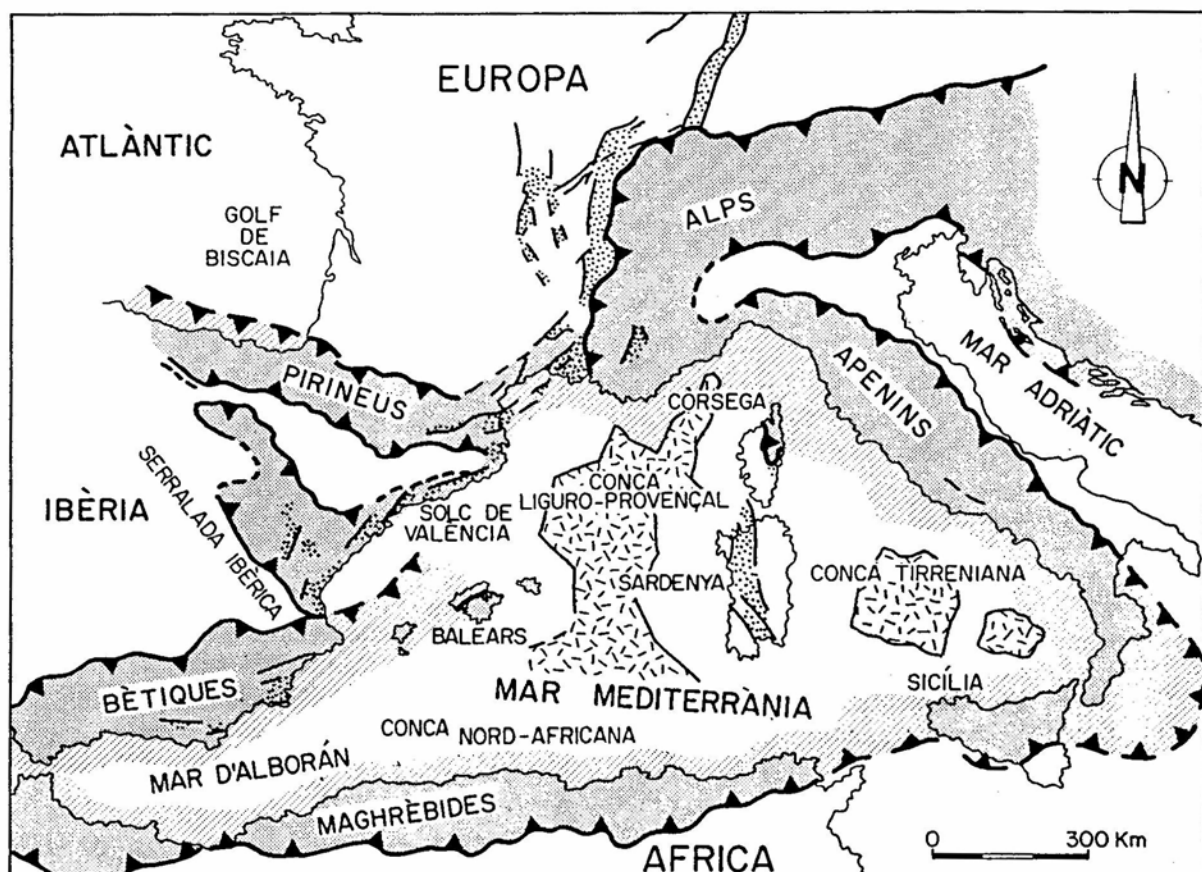


Fig. 3. Esquema tectònic de les principals unitats geotectòniques cenozoiques de la Mediterrània occidental.

Fig. 3. Tectonic sketch of the main Cenozoic geotectonic units in the western Mediterranean.

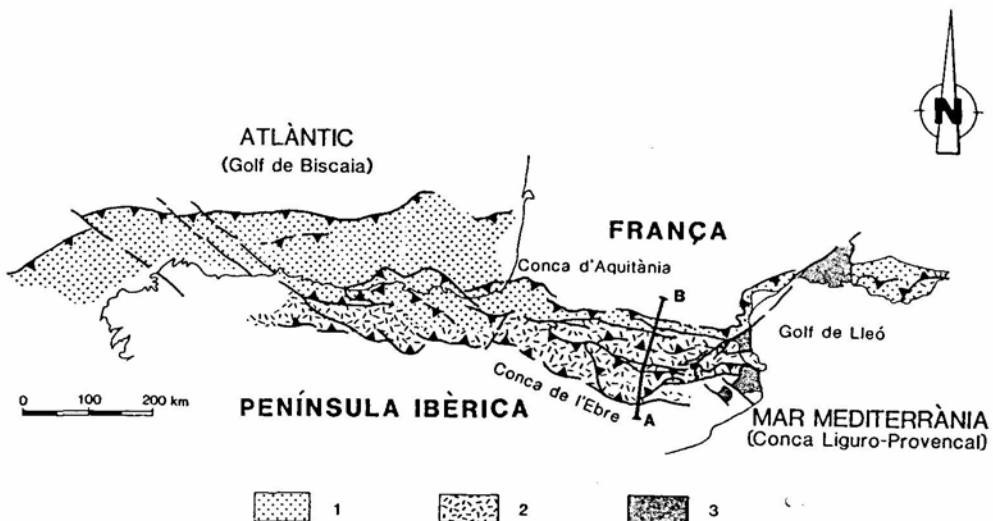


Fig. 4. Esquema estructural del sistema d'encavalcaments dels Pirineus (sintetitzat de: JULIVERT *et al.*, 1972; BODELLE *et al.*, 1980; BOILLOT i MALOD, 1988; CÁMARA, 1989; MUÑOZ, en premsa) amb la situació del perfil ECORS (fig. 5). 1- Zona amb encavalcaments i estructures vergents cap el nord (Unitats nord-pirinenques); 2- Zona amb encavalcaments i estructures vergents cap el sud (Zona Axial i Unitats sud-pirinenques); 3- Fosses neògenes.

Fig. 4. Structural sketch of the Pyrenees thrust belts (synthesized from: JULIVERT *et al.*, 1972; BODELLE *et al.*, 1980; BOILLOT and MALOD, 1988; CÁMARA, 1989; MUÑOZ, in press) and location of the ECORS profile (fig. 5). 1- Area with north-directed thrusts (North Pyrenean Thrust Sheets); 2- Area with south-directed thrusts (Axial Zone and South Pyrenean Thrusts Sheets); 3- Neogene grabens.

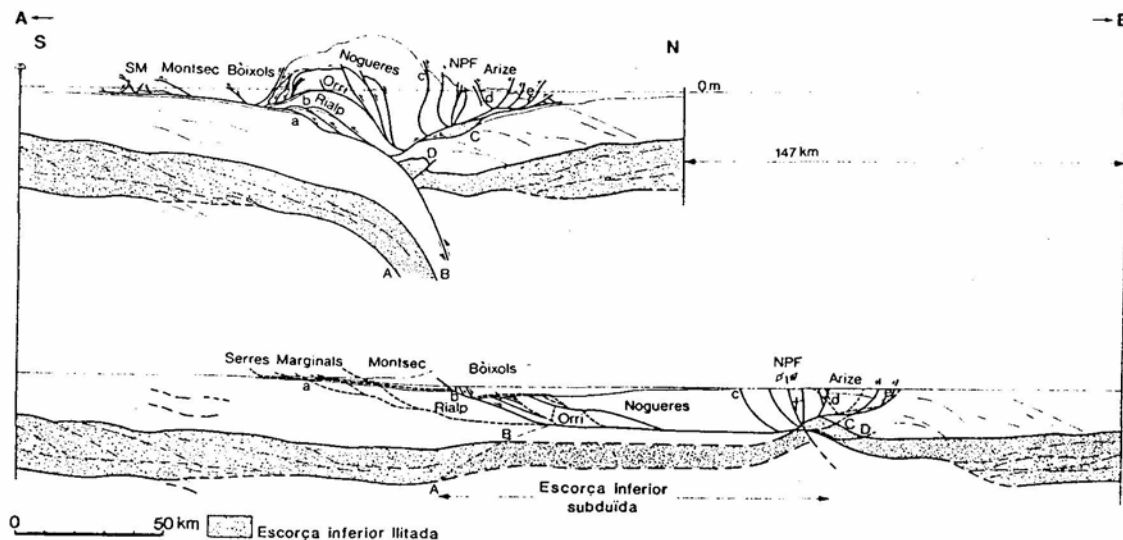


Fig. 5. Tall geològic compensat i restituït dels Pirineus realitzat a partir del perfil ECORS (MUÑOZ, en premsa). Vegeu localització a la fig. 4.

Fig. 5. Balanced and restored geological cross-section of the Pyrenees based on the ECORS profile (MUÑOZ, in press). See fig. 4 for location.

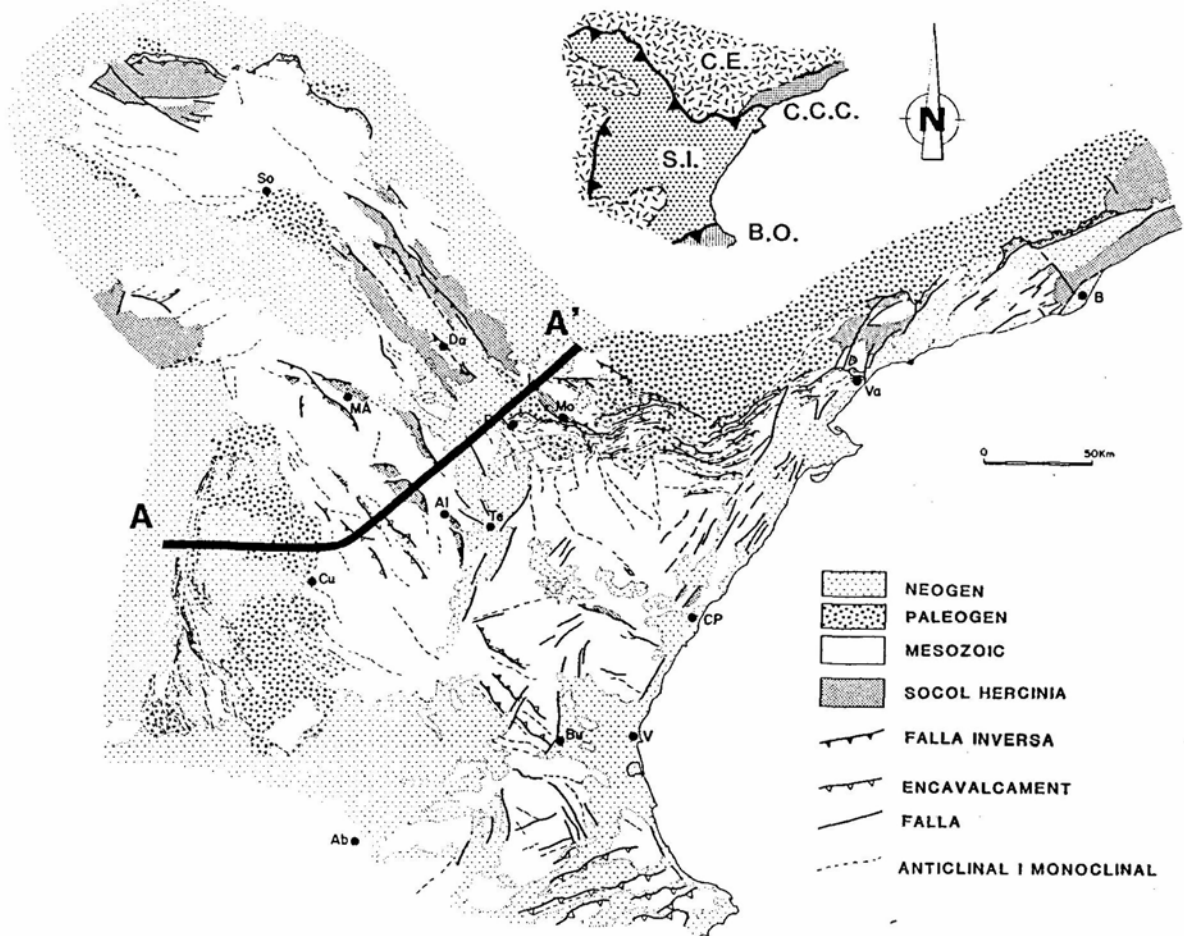


Fig. 6. A- Esquema simplificat amb la disposició espacial de les principals unitats geotectòniques de la part oriental de la Península Ibèrica: C.E.- Conca de l'Ebre; C.C.C.- Cadenes Costaneres Catalanes; S.I.- Serralada Ibèrica; B.O.- Bètiques orientals.
B- Mapa estructural de la Serralada Ibèrica - Cadenes Costaneres Catalanes (GUIMERÀ i ÀLVARO, 1990).

Fig. 6. A- Simplified sketch of the eastern Iberian Peninsula showing the major Cenozoic geotectonic units: C.E.- Ebro basin; C.C.C.- Catalan Coastal Range; S.I.- Iberian Chain; B.O.- Eastern Betics.
B- Structural map of the Iberian Chain and Catalan Coastal Range (GUIMERÀ and ÀLVARO, 1990).

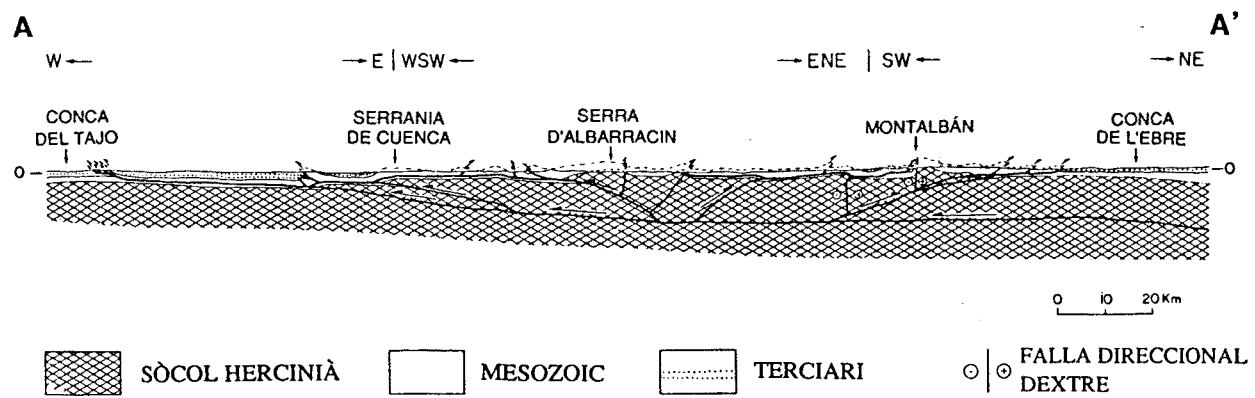


Fig. 7. Tall geològic general a través de la Serralada Ibèrica (GUIMERÀ i ÀLVARO, 1990). Vegeu localització a la fig. 6.

Fig. 7. *Geologic cross-section through the Iberian Chain (GUIMERÀ and ÀLVARO, 1990). See fig. 6 for location.*

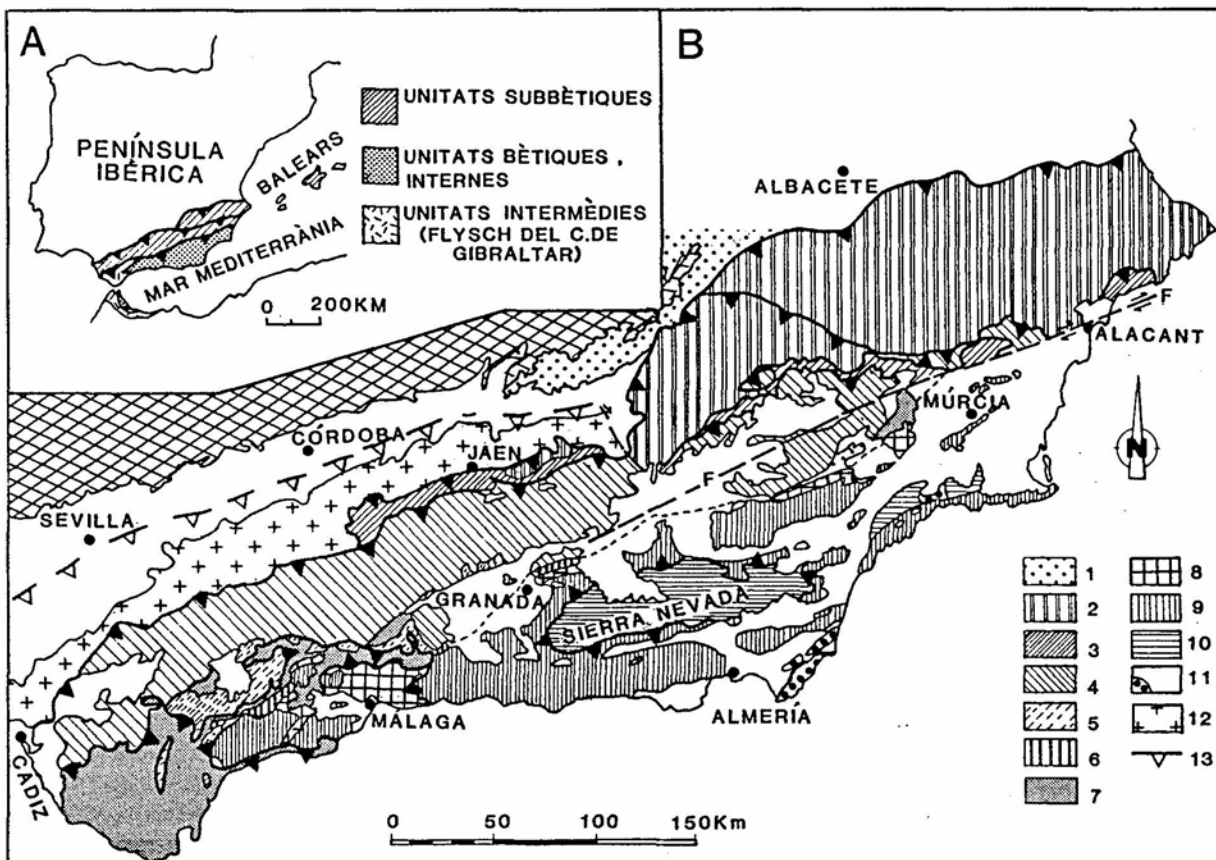


Fig. 8. A- Esquema regional simplificat del Sistema Bètico-balear.

B- Esquema geològic de la Serralada Bètica (modificat de VERA *et al.*, 1982), amb indicació de la subdivisió en dominis paleogeogràfics. 1- Cobertura mesozoica del massís hercinià de la Meseta; 2- Prebètic; 3- Unitats intermèdies (o domini intermedi); 4- Subbètic; 5- Penibètic i Subbètic ultraintern; 6- Dorsal Bètica; 7- Unitats del Camp de Gibraltar i de Mula; 8- Malàguides; 9- Alpujarrides; 10- Nevado-Filàrides; 11- Miocè superior - Pliocè (+ roques volcàniques); 12- Unitats al·lòctones del Guadaluquivir; 13- Encavalcaments principals.

Fig. 8. A- Simplified regional map of the Betic-Balearic System.

B- Geological sketch of the Betic Cordilleras (modified from VERA *et al.*, 1982), with indication of the major palaeogeographical domains. 1- Mesozoic cover of the Iberian Massif; 2- Prebetic; 3- Intermediate Units (or intermediate domain); 4- Subbetic; 5- Penibetic and Ultrainternal Subbetic; 6- Betic Ridge; 7- Flysch nappes; 8- Malaguides; 9- Alpujarrides; 10- Nevado-Filabrides; 11- Upper Miocene-Pliocene (+ volcanic rocks); 12- Guadaluquivir allochthonous units; 13- Main thrusts.

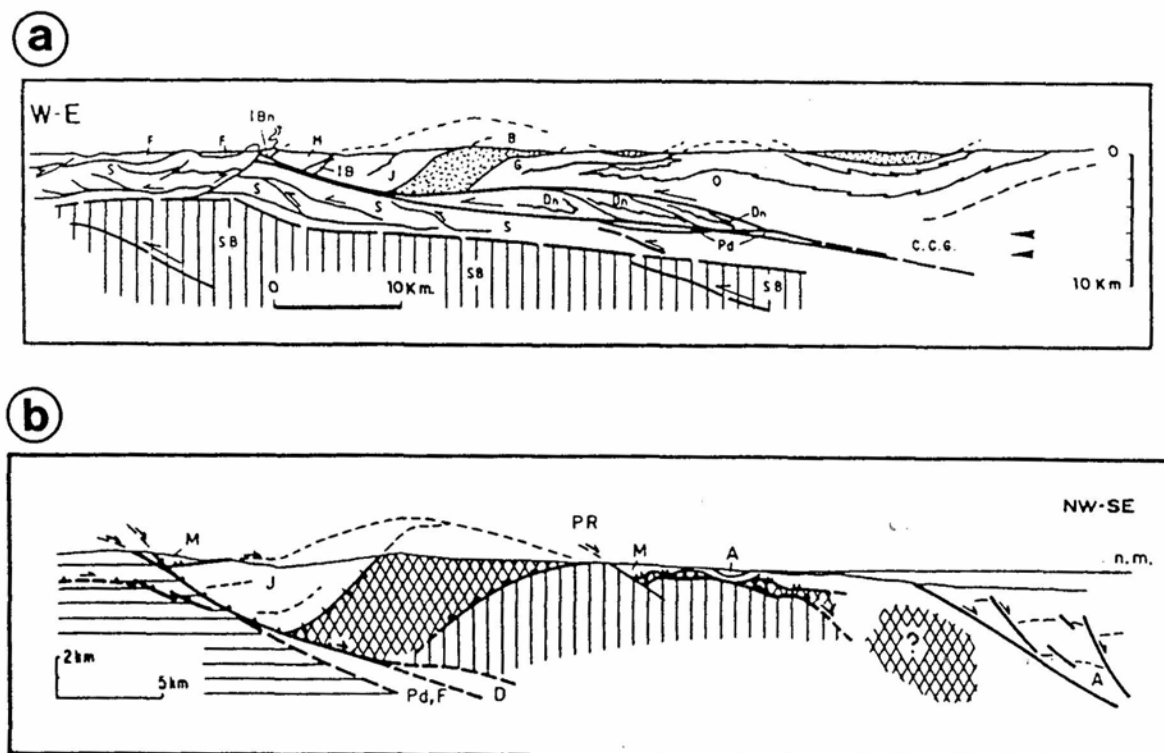


Fig. 9. Talls geològics simplificats de la part més occidental de la Serralada Bètica en el que es mostren les principals estructures contractives miocenes inferiors-mitjes (A) i extensives miocenes mitjes-superiors (B).

A- Tall general simplificat, 6 km al nord de Gaucín, de la terminació occidental del domini d'Alborán (BALANYÁ, 1991). SB- Basament del Domini Sudibèric; S- Cobertura del Domini Sudibèric; F- Complex de Flyshs; Pd- Complex de la Predorsal; Dn- Unitat de Las Nieves i afins; IBn- Imbricacions de Benadalid; M- Malàguides. Alpujarrides: O- Unitat d'Ojén; G- Unitat de Guadaiza; B- Unitat de la Bermeja; J- Unitat de Jubrique; IB- Imbricacions de Benabarrabá. Les fletxes indiquen el sentit de transport de les estructures associades al C.C.G. (Encavalcament de Gibraltar), anteriors a la seva inversió tectònica.

B- Relacions estructurals entre els principals desenganxaments i zones de falla extensionals de l'acabament occidental del domini d'Alborán (GARCÍA-DUEÑAS *et al.*, en premsa). Ratllat horizontal, Domini Sudibèric; ratllat vertical, Unitats d'Ojén i Guadaiza; trama creuada, Unitat de Bermeja; J- Unitat de Jubrique; M- Malàguides; A- Formacions d'Alozaina i Las Millanas i complex d'Alozaina; Pd- Predorsal; F- Complex de Flyschs; D- Dorsal; PR- Zona de falla de Piedras Recias.

Fig. 9. Regional cross-sections across the westernmost part of the Betic Cordilleras with the main Early-Middle Miocene contractive (A) and Middle-Late Miocene extensional structures (B).

A- Simplified cross-section, 6 km north of Gaucín, through the westernmost area of the Alboran Domain (BALANYÁ, 1991). SB- Basement of the South-iberic domain; S- Cover of the South-iberic domain; F- Flysch Complex; Pd- Pre-ridge Complex; Dn- Las Nieves Unit and similar units; IBn- Benadalid imbricated units; M- Malaguides. Alpujarrides: O- Ojén Unit; G- Guadaiza Unit; B- Bermeja Unit; J- Jubrique Unit; IB- Benabarrabá imbricated units. Arrows show the transport direction of the C.C.G. (Gibraltar thrust) related structures previous to its tectonic inversion.

B- Structural relationships between both the main detachments and extensional faults zones in the western termination of the Alboran Domain (GARCÍA-DUEÑAS *et al.*, in press). Horizontal striped, South-iberic domain; vertical striped Ojén and Guadaiza units; cross hatched, Bermeja Unit; J- Jubrique Unit; M- Malaguides; A- Alozaina and Las Millanas formations, and Alozaina Complex; Pd- Pre-ridge; F- Flysch Complex; D- Ridge; PR- Piedras Recias fault zone.

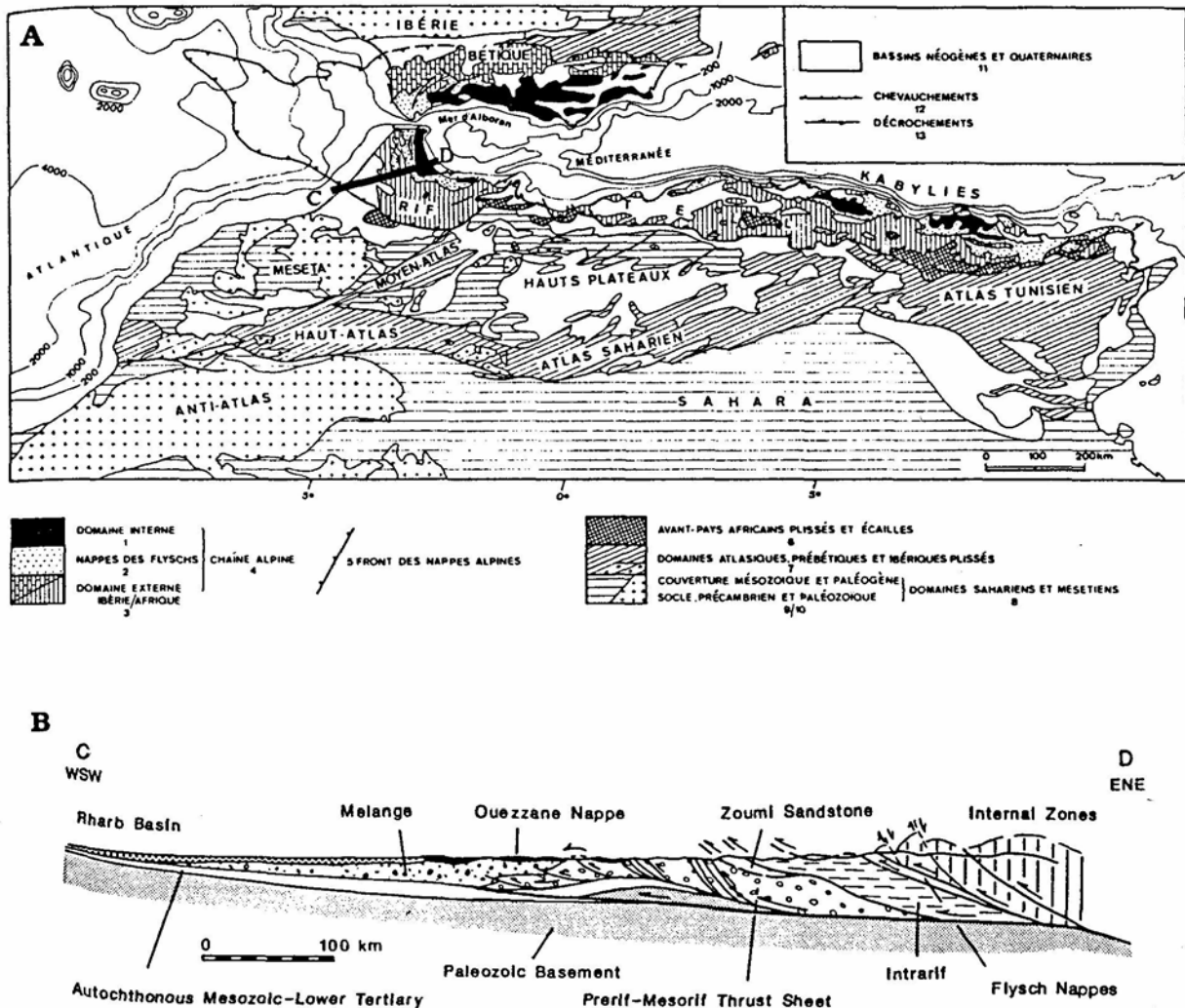


Fig. 10. A- Quadre estructural dels Magrèbides (WILDI, 1983).

B- Tall geològic del Rif occidental que mostra les relacions estrcuturals entre les principals unitats tectòniques (MORLEY, 1987). La geometria en profunditat de les estructures és bastant especulativa. 1- Conca de Rhard; 2- Zona de Mesorif-Prerif; 3- Intrarif (incloent les làmines d'encaixament de Tangiers); 4 i 5- Mantells de Flysch; 6- Zones internes.

Fig. 10. A- Structural map of the Maghrebides (WILDI, 1983).

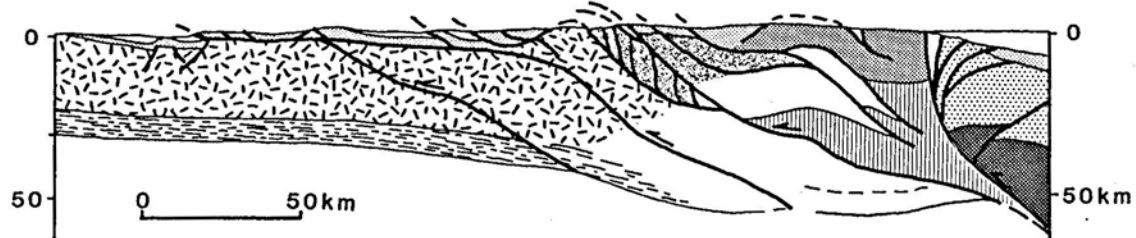
B- Cross-section through the Rif that illustrates structural relations between major tectonic units; subsurface geometry is very poorly constrained and speculative (MARLEY, 1987). 1- Rharp Basin; 2- Prerif-Mesorif zone; 3- Intrarif (including Tangiers thrust sheet); 4 and 5- Flysch nappes; 6- Internal zones.



b ↔ **b'**

NW

SE

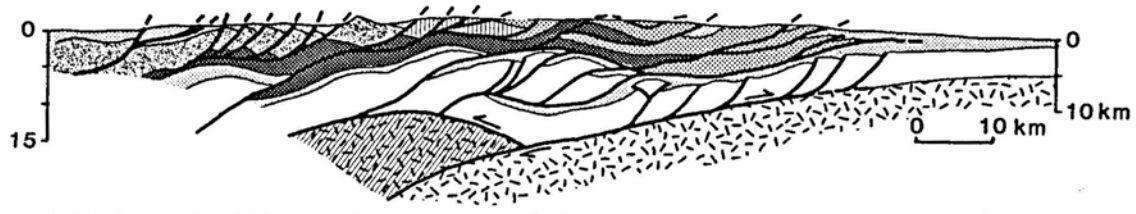


A B C D E F G H

a ↔ **a'**

SW

NE



1 2 3 4 5 6 7

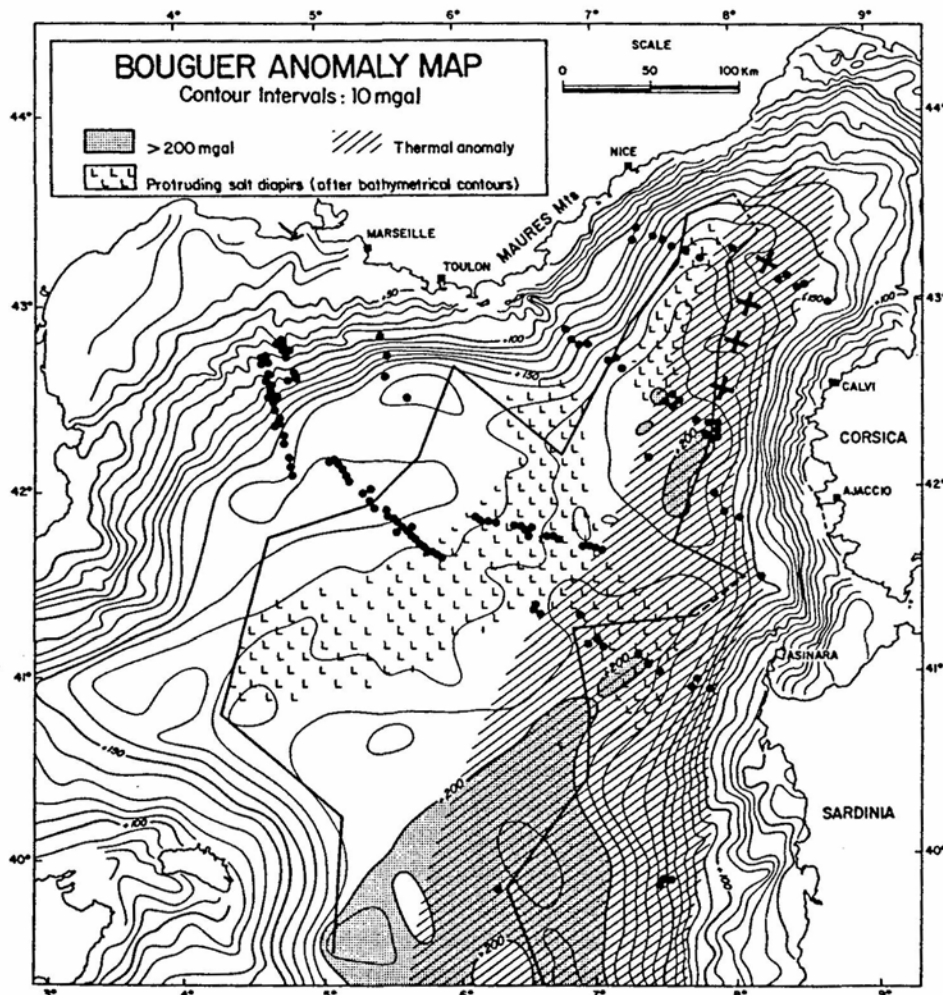


Fig. 12. Mapa d'anomalies de Bouguer (MORELLI *et al.*, 1977) de la Conca Liguro-provençal on es mostren les estacions Flumed (flux de calor) i l'àrea on es localitzen els diapirs salins messinians (BURRUS i FOUCHER, 1986). En línia més gruixuda s'indica el límit entre l'escorça oceànica i la continental (BURRUS, 1984).

Fig. 12. Bouguer anomaly map (MORELLI *et al.*, 1977) of the Liguro-provençal Basin showing the location of Flumed stations (heat flow) and the extension of the protruding Messinian salt diapirs (BURRUS and FOUCHER, 1986). The thicker line represents the ocean-continental crust boundary (BURRUS, 1984).

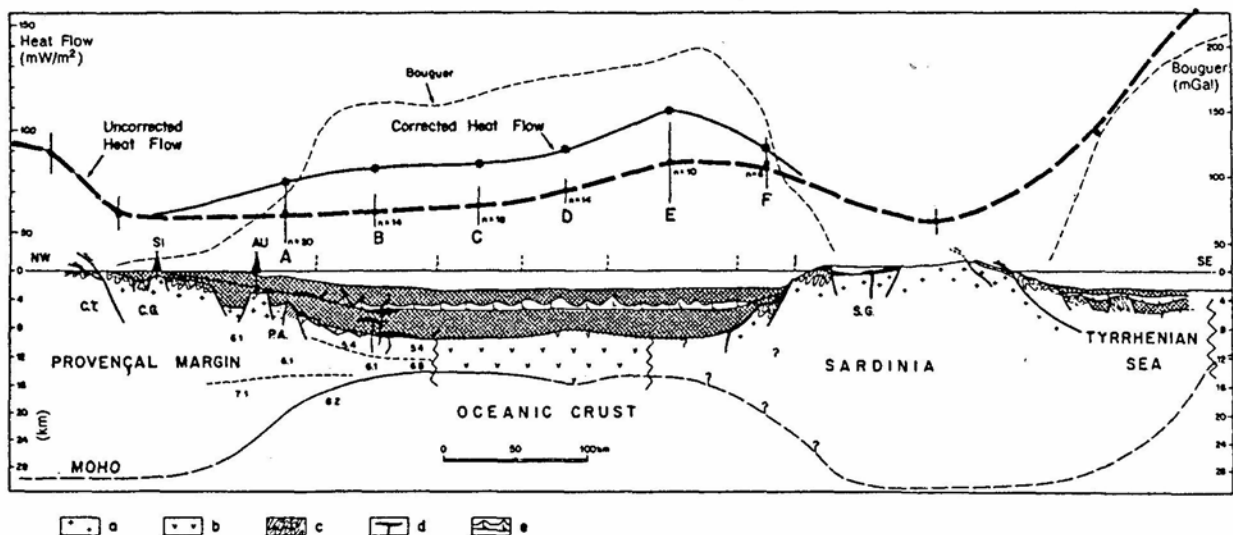


Fig. 13. Tall geològic transversal i perfil de flux de calor a través de la Conca Liguro-provençal, entre el Llenguadoc i la Mar Tirreniana (BURRUS i AUDEBERT, 1990). C.T.- Encavalcaments de les Corbères; C.G.- Graben de la Camarga; SI- Sondatge Siroco; AU- Sondatge Autan; P.A.- Zona Axial del Pirineu (?); S.G.- Graben de Sardenya; a) Substrat cristal.lí; b) Escorça oceànica; c) Substrat metamòrfic hercinià; d) Vulcanisme oligo-miòcè; e) Evaporites messinianes.

Fig. 13. Depth transect and heat flow through the Liguro-provençal Basin, between Languedoc and the Tyrrhenian Sea (BURRUS and AUDEBERT, 1990). C.T- Corbères thrust; C.G.- Camarga Graben; SI- Siroco well; AU- Autan well; P.A.- Pyrenean axial zone (?); S.G.- Sardinian Graben; a) Crystalline substratum; b) Oceanic crust; c) metamorphic Hercynian substratum; d) Oligo-Miocene volcanics; e) Messinian salt.

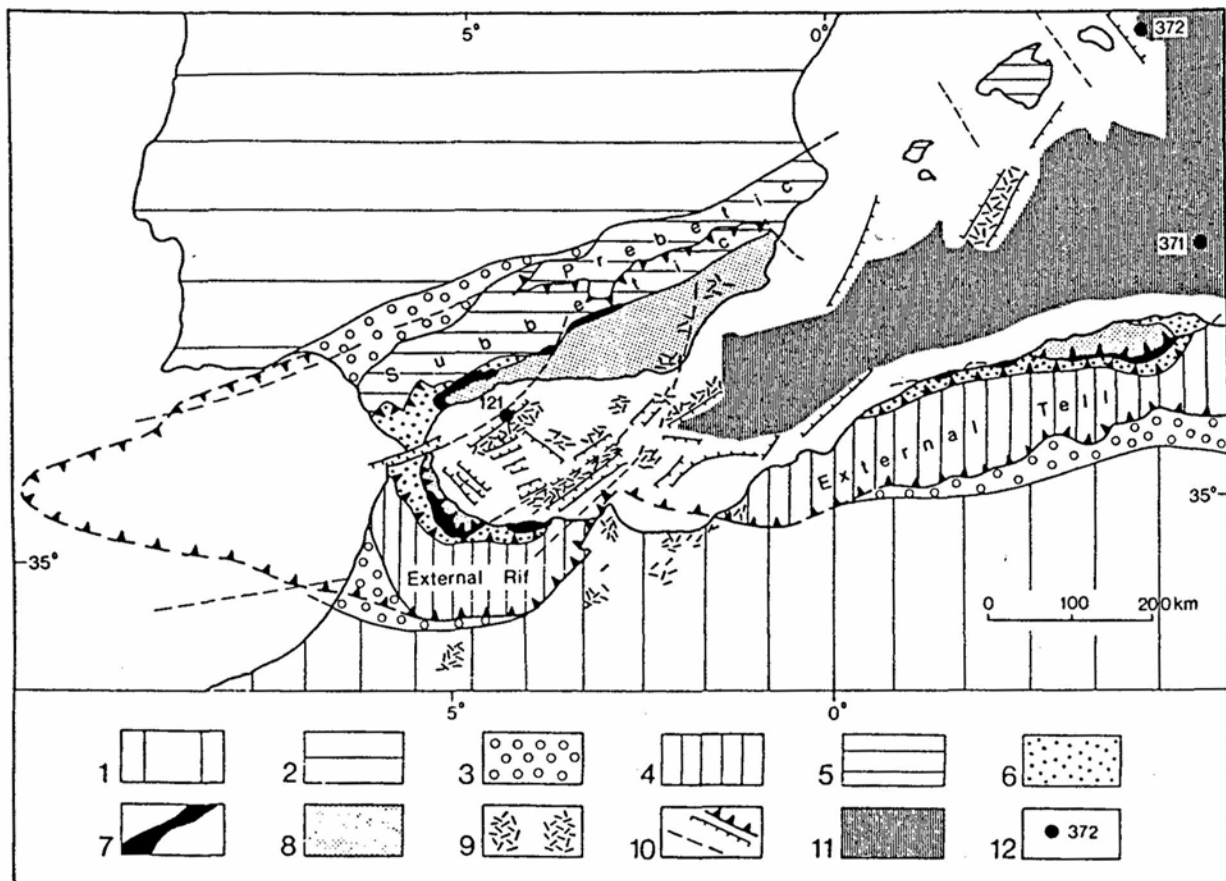


Fig. 14. Esquema geotectònic de la Conca Nord-africana i àrees adjacents (modificat de HORVATH i BERCKHEMER, 1982). 1- Avantpaís africà; 2- Avantpaís europeu; 3- Conques molàssiques; 4- Marge deformat africà; 5- Marge deformat europeu; 6- Mantells numídics de flysch; 7- Cadenes calcàries (Dorsals ?); 8- Zones internes; 9- Neogen, majoritàriament roques volcàniques calcoalcalines; 10- Falles transcurrents, falles normals i encavalcaments principals; 11- Plana abissal balear; 12- Sondatges DSDP.

Fig. 14. Geotectonic sketch of the North-African Basin and surrounding areas (modified from HORVATH and BERCKHEMER, 1982). 1- African foreland; 2- European foreland; 3- Molasse foredeep; 4- Deformed margin of Africa; 5- Deformed margin of Europe; 6- Numidian flysch nappes; 7- Chain Calcare (Ridges ?); 8- Internal zones; 9- Neogene, mostly calc-alkaline volcanics; 10- Transcurrent fault, normal fault and major thrust; 11- Balearic abyssal plain; 12- DSDP holes.

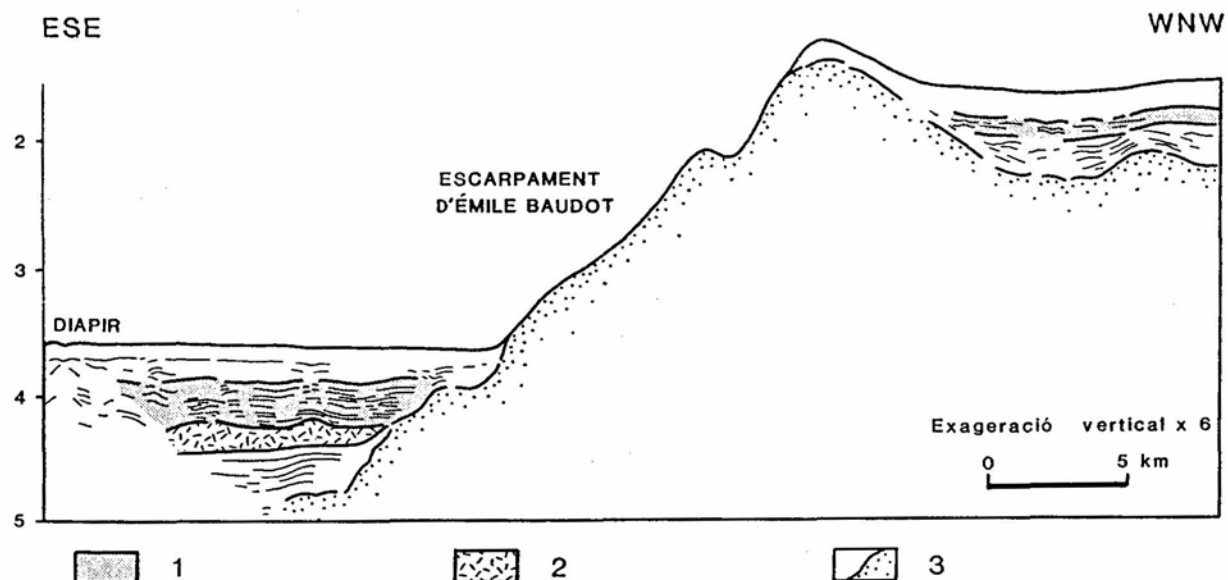
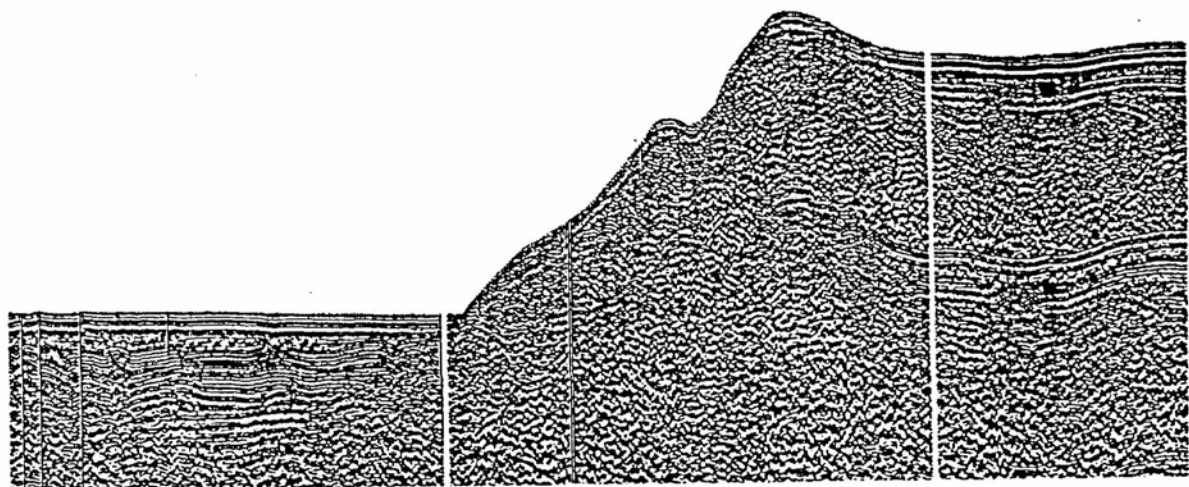


Fig. 15. Perfil sísmic de reflexió situat a l'ESE d'Eivissa i la seva interpretació (MAUFFRET, 1976). S'observa l'important salt normal de la falla que dóna lloc a l'escarpament d'Émile Baudot. 1- Evaporites (guix + anhidrita); 2- Sal; 3- Sòcol acústic.

Fig. 15. Seismic reflection profile across the ESE margin of the Eivissa shelf (MAUFFRET, 1976). This interpreted section shows the main features and the kilometric slip of the Émile Baudot Escarpment.
1- Evaporites (gypsum + anhydrite); **2**- Salt; **3**- Acoustic basement.